VYHLÁSENIE O PARAMETROCH

č. D2026331_sk

1.	**Jedinečný identifikačný kód typu výrobku:**	**EVOLUTION I / EV 1**
2.	**Zamýšľané použitie/použitia:**	Lepené kotvy veľkosti M8 až M30 na použitie v neprasknutom betóne. Kovové injektované kotvy na použitie v murive.
3.	**Výrobca:**	Selena FM S.A. ul. Legnicka 48A, 54-202 Wrocław Poland
4.	**Splnomocnený zástupca:**	nie je relevantné
5.	**Systém(-y) posudzovania a overovania nemennosti parametrov:**	systém 1
6a.	**Harmonizovaná norma:**	nie je relevantné
	Notifikovaný(-é) subjekt(-y):	nie je relevantné
6b.	**Európsky hodnotiaci dokument:**	EAD 330499-02-0601 (september 2022) "Lepené spojovacie prvky a lepené rozperné spojovacie prvky na použitie v betóne" EAD 330076-01-0604 (máj 2021) "Kovové injekčné kotvy na použitie v murive"
	Európske technické posúdenie:	ETA-25/1020 z 12/11/2025, ETA-25/1018 z 12/11/2025
	Orgán technického posudzovania:	Instytut Techniki Budowlanej, 1488
	Notifikovaný(-é) subjekt(-y):	Instytut Techniki Budowlanej, 1488
7.	**Deklarované parametre:**	

Mechanická odolnosť a stabilita (BWR 1)

Základná charakteristika	Výkonnosť
Charakteristická odolnosť voči ťahovému a šmykovému zaťaženiu (statické a kvázistatické zaťaženie), posuny	Pozri tabuľky C1 až C6; ETA 25/1020
Charakteristická odolnosť pri statickom a kvázistatickom zaťažení	Pozri tabuľky C1 až C14; ETA 25/1018
Charakteristická odolnosť a posuny pri seizmickom zaťažení	NPD

Bezpečnosť v prípade požiaru (BWR 2)

Základná charakteristika	Výkonnosť
Reakcia na oheň	Trieda A1
Odolnosť proti ohňu	NPD
Odolnosť proti ohňu pri ťahovom a šmykovom zaťažení s pákovým ramenom a bez neho, minimálne vzdialenosti od okrajov a rozstupy	NPD

doPodpisu.pl doc. ID: 954fcc61-5ef8-4cf5-8a54-3e5c871ecef6

Hygiena, zdravie a životné prostredie (BWR 3)

Základná charakteristika	Výkonnosť
Obsah, emisie a/alebo uvoľňovanie nebezpečných látok	NPD

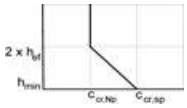
Tabuľka C1 ETA 25/1020 : Charakteristická odolnosť pri ťahovom zaťažení v neporušenom betóne – statické a kvázistatické zaťaženia

Veľkosť			**M8**	**M10**	**M12**	**M16**	**M20**	**M24**	**M30**
Porucha ocele									
Porucha ocele pri štandardnej závitovej tyči triedy 5.8									
Charakteristická odolnosť	$N_{Rk,s}$	[kN]	18	29	42	78	122	176	280
Čiastočný bezpečnostný faktor	γ_{Ms} 1)	[-]	1,50						
Porucha ocele pri štandardnej závitovej tyči triedy 8.8									
Charakteristická odolnosť	$N_{Rk,s}$	[kN]	29	46	67	126	196	282	449
Čiastočný bezpečnostný faktor	γ_{Ms} 1)	[-]	1,50						
Porucha ocele so štandardnou závitovou tyčou triedy 10.9									
Charakteristická pevnosť	$N_{Rk,s}$	[kN]	37	58	84	157	245	353	561
Čiastočný bezpečnostný faktor	γ_{Ms} 1)	[-]	1,40						
Porucha ocele so štandardnou závitovou tyčou triedy 12.9									
Charakteristická pevnosť	$N_{Rk,s}$	[kN]	44	70	101	188	294	424	673
Čiastočný bezpečnostný faktor	γ_{Ms} 1)	[-]	1,40						
Porucha ocele so štandardnou závitovou tyčou z nehrdzavejúcej ocele A4-70									
Charakteristická odolnosť	$N_{Rk,s}$	[kN]	26	41	59	110	171	247	393
Čiastočný bezpečnostný faktor	γ_{Ms} 1)	[-]	1,87						
Porucha ocele so štandardnou nerezovou závitovou tyčou A4-80									
Charakteristická odolnosť	$N_{Rk,s}$	[kN]	29	46	67	126	196	282	449

doPodpisu.pl doc. ID: 954fcc61-5ef8-4cf5-8a54-3e5c871ecef6

Čiastočný bezpečnostný faktor	γ_{Ms} [1]	[-]	1,60						
Porucha ocele so štandardnou vysoko koróziou odolnou závitovou tyčou triedy 70									
Charakteristická odolnosť	$N_{Rk,s}$	[kN]	26	41	59	110	171	247	393
Čiastočný bezpečnostný faktor	γ_{Ms} [1]	[-]	1,87						
Kombinované zlyhanie vytiahnutím a zlyhanie betónového kužeľa (životnosť 50 a/alebo 100 rokov)									
Charakteristická pevnosť spoja v neporušenom betóne C20/25, životnosť 50 rokov									
Teplotný rozsah I: 40 °C/24 °C	$\tau_{Rk,ucr,50}$	[N/mm^2]	9,3	9,3	8,8	8,1	7,8	6,3	5,3
Teplotný rozsah II: 80 °C/50 °C	$\tau_{Rk,ucr,50}$	[N/mm^2]	7,7	7,7	7,3	6,7	6,5	5,2	4,4
Koeficient trvalého zaťaženia pre $\tau_{Rk,ucr,50}$ v neporušenom betóne	$\psi^0_{sus,50}$	40 °C/24 °C	0,74						
		80 °C/50 °C	0,69						
Charakteristická priľnavosť v neporušenom betóne C20/25, životnosť 100 rokov									
Teplotný rozsah I: 40 °C/24 °C	$\tau_{Rk,ucr,100}$	[N/mm^2]	9,3	9,3	8,8	8,1	7,8	6,3	5,3
Teplotný rozsah II: 80 °C/50 °C	$\tau_{Rk,ucr,100}$	[N/mm^2]	7,7	7,7	7,3	6,7	6,5	5,2	4,4
Faktor trvalého zaťaženia pre $\tau_{Rk,ucr,100}$ v neporušenom betóne	$\psi^0_{sus,100}$	40 °C/24 °C	0,83						
		80 °C/50 °C	0,78						
Zvyšovacie faktory	ψ_c	C30/37	1,04				1,0		
		C40/50	1,07				1,0		
		C50/60	1,09				1,0		
[1] V prípade neexistencie iných národných predpisov [2] h – hrúbka betónového prvku									
Porušenie betónového kužeľa									
Koeficient pre neporušený betón	$k_{ucr,N}$	[-]	11,0						

doPodpisu.pl doc. ID: 954fcc61-5ef8-4cf5-8a54-3e5c871ecef6

Vzdialenosť od okraja	$c_{cr,N}$	[mm]	$1,5 \cdot h_{ef}$		
Rozstup	$s_{cr,N}$	[mm]	$3,0 \cdot h_{ef}$		
Porušenie rozštiepením					
Vzdialenosť od okraja	$c_{cr,sp}$ pre h_{min}	[mm]	$2,5 \cdot h_{ef}$	$2,0 \cdot h_{ef}$	$1,5 \cdot h_{ef}$
	$c_{cr,sp}$ pre $h_{min} < h^{1)} < 2 \cdot h_{ef}$ ($c_{cr,sp}$ z lineárnej interpolácie)	[mm]			
	$c_{cr,sp}$ pre $h^{1)} \geq 2 \cdot h_{ef}$	[mm]	$c_{cr,Np}$		
Rozstup	$s_{cr,sp}$	[mm]	$2,0 \cdot c_{cr,sp}$		
Bezpečnostné koeficienty montáže pre kombinované vytrhnutie, zlyhanie betónového kužeľa a rozštiepenie					
Bezpečnostné koeficienty montáže pre kategóriu I1 + I2	γ_{inst}	[-]	1,4	1,2	
$^{1)}$ h – hrúbka betónového prvku					

doPodpisu.pl doc. ID: 954fcc61-5ef8-4cf5-8a54-3e5c871ecef6

Tabuľka C2 ETA 25/1020 : Charakteristická odolnosť pri šmykových zaťaženiach v neporušenom betóne – porucha ocele bez pákového ramena

Veľkosť				**M8**	**M10**	**M12**	**M16**	**M20**	**M24**	**M30**
Charakteristická odolnosť		$V^0_{Rk,s}$	[kN]	$k_6 \cdot A_s$ [2] $\cdot f_{uk}$ [3]						
Koeficient zohľadňujúci ťažnosť	uhlíková oceľ s $f_{uk} \leq 500$ N/mm^2	k_6	[-]	0,6						
	uhlíková oceľ s $500 < f_{uk} \leq 1000$ N/mm^2 alebo nehrdzavejúca oceľ			0,5						
Koeficient zohľadňujúci ťažnosť		k_7		1,0						
Čiastočný bezpečnostný koeficient [1]										
Závitová tyč triedy 5.8		γ_{Ms}	[-]	1,25						
Závitová tyč triedy 8.8				1,25						
Závitová tyč triedy 10.9				1,50						
Závitová tyč triedy 12.9				1,50						
Závitová tyč z nehrdzavejúcej ocele A4-70				1,56						
Závitová tyč z nehrdzavejúcej ocele A4-80				1,33						
Nehrdzavejúca oceľ s vysokou odolnosťou proti korózii triedy 70				1,56						

[1] V prípade neexistencie iných národných predpisov

[2] Namáhaný prierez ocele

[3] Podľa EN 1992-1-1

doPodpisu.pl doc. ID: 954fcc61-5ef8-4cf5-8a54-3e5c871ecef6

Tabuľka C3 ETA 25/1020: Charakteristické hodnoty pre šmykové zaťaženie v neporušenom betóne – porucha ocele s pákovým ramenom

Veľkosť			**M8**	**M10**	**M12**	**M16**	**M20**	**M24**	**M30**
Porucha ocele so štandardnou závitovou tyčou triedy 5.8									
Charakteristická odolnosť	$M^0_{Rk,s}$	[Nm]	19	37	65	166	324	561	1124
Čiastočný bezpečnostný faktor	γ_{Ms}	[-]	1,25						
Porucha ocele so štandardnou závitovou tyčou triedy 8.8									
Charakteristická odolnosť	$M^0_{Rk,s}$	[Nm]	30	60	105	266	519	898	1799
Čiastočný bezpečnostný faktor	γ_{Ms}	[-]	1,25						
Porucha ocele so štandardnou závitovou tyčou triedy 10.9									
Charakteristická odolnosť	$M^0_{Rk,s}$	[Nm]	37	75	131	333	649	1123	2249
Čiastočný bezpečnostný faktor	γ_{Ms}	[-]	1,50						
Porucha ocele pri štandardnej závitovej tyči triedy 12.9									
Charakteristická pevnosť	$M^0_{Rk,s}$	[Nm]	45	90	157	400	779	1347	2699
Čiastočný bezpečnostný faktor	γ_{Ms}	[-]	1,50						
Porucha ocele pri štandardnej závitovej tyči z nehrdzavejúcej ocele A4-70									
Charakteristická pevnosť	$M^0_{Rk,s}$	[Nm]	26	52	92	233	454	786	1574
Čiastočný bezpečnostný faktor	γ_{Ms}	[-]	1,56						
Porucha ocele pri štandardnej závitovej tyči z nehrdzavejúcej ocele A4-80									
Charakteristická pevnosť	$M^0_{Rk,s}$	[Nm]	30	60	105	266	519	898	1799
Čiastočný bezpečnostný faktor	γ_{Ms}	[-]	1,33						
Porucha ocele pri vysokokoróznej nerezovej závitovej tyči triedy 70									
Charakteristická odolnosť	$M^0_{Rk,s}$	[Nm]	26	52	92	233	454	786	1574
Čiastočný bezpečnostný faktor	γ_{Ms}	[-]	1,56						

Tabuľka C4 ETA 25/1020: Porucha betónu pri vypáčení a porucha okraja betónu

Veľkosť			**M8**	**M10**	**M12**	**M16**	**M20**	**M24**	**M30**
Porucha vytrhnutím									
Koeficient vytrhnutia	k_8	[-]	2						
Porucha okraja betónu									
Vonkajší priemer kotvy	d_{nom}	[mm]	8	10	12	16	20	24	30
Efektívna dĺžka kotvy pri šmykovom zaťažení	l_f	[mm]	min (h_{ef}; $12d_{nom}$)						min (h_{ef}; 300)

doPodpisu.pl doc. ID: 954fcc61-5ef8-4cf5-8a54-3e5c871ecef6

Tabuľka C5 ETA 25/1020: Posun pri ťahových zaťaženiach

Veľkosť			**M8**	**M10**	**M12**	**M16**	**M20**	**M24**	**M30**
Charakteristický posun v neporušenom betóne C20/25 až C50/60									
Posun [1)]	δ_{N0}	[mm/N/mm^2]	0,046	0,057	0,073	0,094	0,108	0,128	0,169
	$\delta_{N¥}$	[mm/N/mm^2]	0,130	0,130	0,130	0,130	0,130	0,130	0,130
[1)] Tieto hodnoty sú vhodné pre každý teplotný rozsah a kategórie uvedené v prílohe B1 Výpočet posunutia: $\delta_{N0} = \delta_{N0}$-faktor · N; $\delta_{N} = \delta_{N¥}$-faktor · N; (N – pôsobiace ťahové zaťaženie)									

Tabuľka C6 ETA 25/1020: Posunutie pri šmykovom zaťažení

Veľkosť			**M8**	**M10**	**M12**	**M16**	**M20**	**M24**	**M30**
Charakteristické posunutie v neporušenom betóne C20/25 až C50/60									
Posunutie [1)]	δ_{V0}	[mm/kN]	0,228	0,144	0,099	0,053	0,034	0,024	0,015
	$\delta_{V¥}$	[mm/kN]	0,342	0,216	0,148	0,080	0,051	0,035	0,022
[1)] Tieto hodnoty sú vhodné pre každý teplotný rozsah a kategórie uvedené v prílohe B1 Výpočet posunutia: $\delta_{N0} = \delta_{N0}$-faktor · V; $\delta_{N} = \delta_{N¥}$-faktor · V; (V – pôsobiace šmykové zaťaženie)									

Tabuľka C1 ETA 25/1018: Charakteristická odolnosť pri ťahu a šmykovom zaťažení

Hustota / Pevnosť v tlaku	**Puzdro**	**Veľkosť kotvy**	**Efektívna hĺbka zapustenia**	**Charakteristický odpor**	**Charakteristický odpor**
ρ_m / f_b	**d_s x l_s**	**M**	**h_{ef}**	**N_{Rk} [1)]**	**V_{Rk} [2)]**
[kg/dm^3] / [N/mm^2]	[-]	[-]	[mm]	[kN]	[kN]
Tehla č. 1					
$\rho_m \geq 2,0$ / $f_b \geq 20$	bez	M8	80	6,0	3,5
		M10	85	7,0	5,0
		M12	95	7,0	7,0
		M16	105	7,0	7,0
Tehla č. 2					
$\rho_m \geq 0,65$ / $f_b \geq 6$	bez	M8	80	1,5	1,5
		M10	85	1,5	1,5
		M12	95	2,0	2,0
		M16	105	2,5	2,5

doPodpisu.pl doc. ID: 954fcc61-5ef8-4cf5-8a54-3e5c871ecef6

Tehla č. 3					
$\rho_m \geq 2,0$ / $f_b \geq 20$	bez	M8	80	5,0	3,5
		M10	85	5,0	5,0
		M12	95	5,0	5,0
		M16	105	5,0	5,0
Tehla č. 4					
$\rho_m \geq 1,4$ / $f_b \geq 12$	12 x 50	M8	50	2,0	2,0
	12 x 80	M8	80	2,0	2,0
	16 x 85	M10	85	2,5	2,5
	16 x 125	M10	125	3,5	2,5
	16 x 85	M12	85	2,5	2,5
	16 x 125	M12	125	3,0	2,5
	20 x 85	M16	85	2,5	2,5
Tegla č. 5					
$\rho_m \geq 0,9$ / $f_b \geq 12$	12 x 50	M8	50	2,0	2,0
	12 x 80	M8	80	2,0	2,0
	16 x 85	M10	85	3,0	2,5
	16 x 125	M10	125	3,0	2,5
	16 x85	M12	85	3,5	2,5
	16 x 125	M12	125	3,5	2,5
	20 x 85	M16	85	4,0	2,5
Čiastočný bezpečnostný faktor $\gamma_M = 2,0$ pre AAC (tehla č. 2) a $\gamma_{MS} = 2,5$ pre ostatné základné materiály (ak neexistujú iné národné predpisy) 1) $N_{Rk} = N_{Rk,p} = N_{Rk,b} = N_{Rk,s}$ 2) $V_{Rk} = V_{Rk,b} = V_{Rk,c} = V_{Rk,s}$					

Tabuľka C2: Charakteristická odolnosť pri ťahu a šmykovom zaťažení

Hustota / Pevnosť v tlaku	**Puzdro**	**Veľkosť kotvy**	**Efektívna hĺbka zapustenia**	**Charakteristická odolnosť**	**Charakteristická odolnosť**
ρ_m / f_b	**d_s x l_s**	**M**	**h_{ef}**	**N_{Rk} 1)**	**V_{Rk} 2)**

doPodpisu.pl doc. ID: 954fcc61-5ef8-4cf5-8a54-3e5c871ecef6

[kg/dm^3] / [N/mm^2]	[-]	[-]	[mm]	[kN]	[kN]
Tehla č. 6					
$\rho_m \geq 0,8$ / $f_b \geq 15$	12 x 50	M8	50	1,2	1,2
	12 x 80	M8	80	1,5	1,5
	16 x 85	M10	85	2,0	2,0
	16 x 125	M10	125	2,5	2,5
	16 x 85	M12	85	3,0	2,5
	16 x 125	M12	125	3,0	2,5
	20 x 85	M16	85	2,0	2,0
Tehla č. 7					
$\rho_m \geq 0,7$ / $f_b \geq 10$	12 x 50	M8	50	1,2	1,2
	12 x 80	M8	80	1,5	1,5
	16 x 85	M10	85	2,0	2,0
	16 x 125	M10	125	2,5	2,5
	16 x 85	M12	85	3,0	2,5
	16 x 125	M12	125	3,0	2,5
	20 x 85	M16	85	2,0	2,0
Tegla č. 8					
$\rho_m \geq 0,8$ / $f_b \geq 15$	12 x 50	M8	50	1,5	1,5
	12 x 80	M8	80	2,0	2,0
	16 x 85	M10	85	3,0	2,5
	16 x 125	M10	125	3,0	2,5
	16 x 85	M12	85	3,5	2,5
	16 x 125	M12	125	3,5	2,5
	20 x 85	M16	85	3,5	2,5
Tegla č. 9					

doPodpisu.pl doc. ID: 954fcc61-5ef8-4cf5-8a54-3e5c871ecef6

$\rho_m \geq 0{,}93$ / $f_b \geq 6$	12 x 50	M8	50	0,75	0,75
	12 x 80	M8	80	0,75	0,75
	16 x 85	M10	85	1,5	1,5
	16 x 125	M10	125	1,5	1,5
	16 x 85	M12	85	1,5	1,5
	16 x 125	M12	125	1,5	1,5
	20 x 85	M16	85	1,2	1,2
Čiastočný bezpečnostný koeficient $\gamma_M = 2{,}5$ (ak neexistujú iné národné predpisy) 1) $N_{Rk} = N_{Rk,p} = N_{Rk,b} = N_{Rk,s}$ 2) $V_{Rk} = V_{Rk,b} = V_{Rk,c} = V_{Rk,s}$					

Tabuľka C3 ETA 25/1018: Charakteristická odolnosť pri ťahu a šmykovom zaťažení

Hustota / Pevnosť v tlaku	**Puzdro**	**Veľkosť kotvy**	**Efektívna hĺbka zapustenia**	**Charakteristická odolnosť**	**Charakteristická odolnosť**
ρ_m / f_b	**d_s x l_s**	**M**	**h_{ef}**	**N_{Rk} 1)**	**V_{Rk} 2)**
[kg/dm^3] / [N/mm^2]	[-]	[-]	[mm]	[kN]	[kN]
Tehla č. 10					
$\rho_m \geq 0{,}75$ / $f_b \geq 6$	12 x 50	M8	50	1,0	0,9
	12 x 80	M8	80	1,0	1,0
	16 x 85	M10	85	1,5	1,5
	16 x 125	M10	125	1,5	1,5
	16 x 85	M12	85	1,5	1,5
	16 x 125	M12	125	1,5	1,5
	20 x 85	M16	85	1,2	1,2
Tegla č. 11					

doPodpisu.pl doc. ID: 954fcc61-5ef8-4cf5-8a54-3e5c871ecef6

$\rho_m \geq$ 0,865 / $f_b \geq 6$	12 x 50	M8	50	0,75	0,75
	12 x 80	M8	80	0,9	0,9
	16 x 85	M10	85	1,2	1,2
	16 x 125	M10	125	1,2	1,2
	16 x 85	M12	85	1,2	1,2
	16 x 125	M12	125	1,2	1,2
	20 x 85	M16	85	1,2	1,2
Tegla č. 12					
$\rho_m \geq$ 0,659 / $f_b \geq 6$	12 x 50	M8	50	0,9	0,9
	12 x 80	M8	80	0,9	0,9
	16 x 85	M10	85	1,5	1,5
	16 x 125	M10	125	1,2	1,2
	16 x 85	M12	85	1,5	1,5
	16 x 125	M12	125	1,5	1,5
	20 x 85	M16	85	1,5	1,5
Tegla č. 13					
$\rho_m \geq$ 0,755 / $f_b \geq 6$	12 x 50	M8	50	1,0	0,9
	12 x 80	M8	80	1,0	1,0
	16 x 85	M10	85	1,0	0,9
	16 x 125	M10	125	1,0	0,9
	16 x 85	M12	85	1,2	1,2
	16 x 125	M12	125	1,2	1,2
	20 x 85	M16	85	1,2	1,2
Čiastočný bezpečnostný faktor γ_M = 2,5 (ak neexistujú iné národné predpisy) 1) $N_{Rk} = N_{Rk,p} = N_{Rk,b} = N_{Rk,s}$ 2) $V_{Rk} = V_{Rk,b} = V_{Rk,c} = V_{Rk,s}$					

Tabuľka C4 ETA 25/1018: Charakteristická odolnosť pri ťahu a šmykovom zaťažení

Hustota / Pevnosť v tlaku	Puzdro	Veľkosť kotvy	Efektívna hĺbka zapustenia	Charakteristická odolnosť	Charakteristická odolnosť

doPodpisu.pl doc. ID: 954fcc61-5ef8-4cf5-8a54-3e5c871ecef6

ρ_m / f_b	d_s x l_s	M	h_{ef}	N_{Rk} 1)	V_{Rk} 2)
[kg/dm^3] / [N/mm^2]	[-]	[-]	[mm]	[kN]	[kN]
Tehla č. 14					
$\rho_m \geq 0,8$ / $f_b \geq 2$	12 x 50	M8	50	1,0	1,0
	12 x 80	M8	80	1,5	1,5
	16 x 85	M10	85	2,0	2,0
	16 x 125	M10	125	2,0	2,0
	16 x 85	M12	85	2,5	2,5
	16 x 125	M12	125	3,0	2,5
	20 x 85	M16	85	3,5	2,5

Čiastočný bezpečnostný koeficient $\gamma_M = 2,5$ pre ostatné základné materiály (v prípade neexistencie národnej normy)

1) $N_{Rk} = N_{Rk,p} = N_{Rk,b} = N_{Rk,s}$

2) $V_{Rk} = V_{Rk,b} = V_{Rk,c} = V_{Rk,s}$

doPodpisu.pl doc. ID: 954fcc61-5ef8-4cf5-8a54-3e5c871ecef6

Tabuľka C5 ETA 25/1018: Charakteristický ohybový moment

Veľkosť tyče				**M8**	**M10**	**M12**	**M16**
Charakteristický ohybový moment	$M^0_{Rk,s}$	Nm	5.8	19	37	65	166
			6.8	22	45	79	200
			8.8	30	60	105	266
			10.9	37	75	131	333
			12.9	45	90	157	400
			A4-70	26	52	92	232
			A4-80	30	60	105	266
			70	26	52	92	233
Čiastočný bezpečnostný faktor	γMs	-	5.8	1,25			
			6.8	1,25			
			8.8	1,25			
			10.9	1,50			
			12.9	1,50			
			A4-70	1,56			
			A4-80	1,33			
			70	1,56			

Tabuľka C6 ETA 25/1018 : Posuny pri ťahovom zaťažení

Tehla č. 1					
Veľkosť tyče		M8	M10	M12	M16
δ_{N0}	[mm]	0,11	0,12	0,15	0,16
$\delta_{N¥}$	[mm]	0,36	0,36	0,36	0,36
Tehla č. 2					
Veľkosť tyče		M8	M10	M12	M16
δ_{N0}	[mm]	0,05	0,07	0,10	0,11
$\delta_{N¥}$	[mm]	0,19	0,19	0,20	0,22
Tehla č. 3					
Veľkosť tyče		M8	M10	M12	M16
δ_{N0}	[mm]	0,13	0,15	0,15	0,18
$\delta_{N¥}$	[mm]	0,36	0,36	0,36	0,36

doPodpisu.pl doc. ID: 954fcc61-5ef8-4cf5-8a54-3e5c871ecef6

Tehla č. 4					
Veľkosť tyče		M8	M10	M12	M16
δ_{N0}	[mm]	0,10	0,13	0,15	0,18
$\delta_{N¥}$	[mm]	0,36	0,36	0,36	0,36
Tehla č. 5					
Veľkosť tyče		M8	M10	M12	M16
δ_{N0}	[mm]	0,14	0,13	0,24	0,18
$\delta_{N¥}$	[mm]	0,36	0,36	0,48	0,36
Tehla č. 6					
Veľkosť tyče		M8	M10	M12	M16
δ_{N0}	[mm]	0,09	0,27	0,14	0,16
$\delta_{N¥}$	[mm]	0,36	0,54	0,36	0,36
Tehla č. 7					
Veľkosť tyče		M8	M10	M12	M16
δ_{N0}	[mm]	0,05	0,16	0,30	0,28
$\delta_{N¥}$	[mm]	0,36	0,36	0,60	0,56
Tegla č. 8					
Veľkosť tyče		M8	M10	M12	M16
δ_{N0}	[mm]	0,08	0,10	0,10	0,27
$\delta_{N¥}$	[mm]	0,36	0,36	0,36	0,54

Rovnica $N = N_{Rk} / \gamma_F x \gamma_M$, kde $\gamma_F = 1,4$

doPodpisu.pl doc. ID: 954fcc61-5ef8-4cf5-8a54-3e5c871ecef6

Tabuľka C7 ETA 25/1018: Dposuny pri ťahovom zaťažení

Tegla č. 9					
Veľkosť tyče		M8	M10	M12	M16
δ_{N0}	[mm]	0,06	0,04	0,07	0,10
$\delta_{N¥}$	[mm]	0,36	0,36	0,36	0,36
Tehla č. 10					
Veľkosť tyče		M8	M10	M12	M16
δ_{N0}	[mm]	0,04	0,05	0,08	0,12
$\delta_{N¥}$	[mm]	0,36	0,36	0,36	0,36
Tehla č. 11					
Veľkosť tyče		M8	M10	M12	M16
δ_{N0}	[mm]	0,04	0,05	0,08	0,12
$\delta_{N¥}$	[mm]	0,36	0,36	0,36	0,36
Tehla č. 12					
Veľkosť tyče		M8	M10	M12	M16
δ_{N0}	[mm]	0,06	0,08	0,08	0,15
$\delta_{N¥}$	[mm]	0,36	0,36	0,36	0,36
Tehla č. 13					
Veľkosť tyče		M8	M10	M12	M16
δ_{N0}	[mm]	0,04	0,04	0,10	0,07
$\delta_{N¥}$	[mm]	0,36	0,36	0,36	0,36
Tehla č. 14					
Veľkosť tyče		M8	M10	M12	M16
δ_{N0}	[mm]	0,22	0,25	0,30	0,20
$\delta_{N¥}$	[mm]	0,44	0,50	0,60	0,40

Rovnica $N = N_{Rk} / \gamma_F \times \gamma_M$, kde $\gamma_F = 1,4$

Tabuľka C8 ETA 25/1018: Dposuny pri šmykovom zaťažení

Tehla č. 1				
Veľkosť tyče	M8	M10	M12	M16

doPodpisu.pl doc. ID: 954fcc61-5ef8-4cf5-8a54-3e5c871ecef6

δ_{V0}	[mm]	0,29	0,33	0,34	0,42
$\delta_{V¥}$	[mm]	0,44	0,50	0,51	0,63
Tehla č. 2					
Veľkosť tyče		M8	M10	M12	M16
δ_{V0}	[mm]	0,15	0,16	0,22	0,23
$\delta_{V¥}$	[mm]	0,23	0,24	0,33	0,35
Tehla č. 3					
Veľkosť tyče		M8	M10	M12	M16
δ_{V0}	[mm]	0,21	0,22	0,25	0,25
$\delta_{V¥}$	[mm]	0,32	0,33	0,38	0,38
Tegla č. 4					
Veľkosť tyče		M8	M10	M12	M16
δ_{V0}	[mm]	0,10	0,13	0,16	0,20
$\delta_{V¥}$	[mm]	0,15	0,20	0,24	0,30
Tegla č. 5					
Veľkosť tyče		M8	M10	M12	M16
δ_{V0}	[mm]	0,18	0,22	0,25	0,25
$\delta_{V¥}$	[mm]	0,27	0,33	0,38	0,38
Tegla č. 6					
Veľkosť tyče		M8	M10	M12	M16
δ_{V0}	[mm]	0,18	0,21	0,23	0,19
$\delta_{V¥}$	[mm]	0,27	0,32	0,35	0,29
Tehla č. 7					
Veľkosť tyče		M8	M10	M12	M16
δ_{V0}	[mm]	0,24	0,20	0,34	0,26
$\delta_{V¥}$	[mm]	0,36	0,30	0,51	0,39
Tehla č. 8					
Veľkosť tyče		M8	M10	M12	M16
δ_{V0}	[mm]	0,11	0,13	0,36	0,27

doPodpisu.pl doc. ID: 954fcc61-5ef8-4cf5-8a54-3e5c871ecef6

$\delta_{V¥}$	[mm]	0,17	0,20	0,54	0,41

Rovnica $N = N_{Rk} / \gamma_F \times \gamma_M$, kde $\gamma_F = 1,4$

Tabuľka C9 ETA 25/1018: Dposuny pri šmykovom zaťažení

Tehla č. 9					
Veľkosť tyče		M8	M10	M12	M16
δ_{V0}	[mm]	0,12	0,15	0,22	0,21
$\delta_{V¥}$	[mm]	0,18	0,23	0,33	0,32
Tehla č. 10					
Veľkosť tyče		M8	M10	M12	M16
δ_{V0}	[mm]	0,11	0,14	0,15	0,25
$\delta_{V¥}$	[mm]	0,17	0,21	0,23	0,38
Tehla č. 11					
Veľkosť tyče		M8	M10	M12	M16
δ_{V0}	[mm]	0,14	0,15	0,25	0,20
$\delta_{V¥}$	[mm]	0,21	0,23	0,38	0,30
Tehla č. 12					
Veľkosť tyče		M8	M10	M12	M16
δ_{V0}	[mm]	0,09	0,11	0,24	0,26
$\delta_{V¥}$	[mm]	0,14	0,17	0,36	0,39
Tehla č. 13					
Veľkosť tyče		M8	M10	M12	M16
δ_{V0}	[mm]	0,10	0,14	0,17	0,21
$\delta_{V¥}$	[mm]	0,15	0,21	0,26	0,32
Tehla č. 14					
Veľkosť tyče		M8	M10	M12	M16
δ_{V0}	[mm]	0,24	0,35	0,32	0,34
$\delta_{V¥}$	[mm]	0,36	0,53	0,48	0,51

Rovnica $N = N_{Rk} / \gamma_F \times \gamma_M$, kde $\gamma_F = 1,4$

doPodpisu.pl doc. ID: 954fcc61-5ef8-4cf5-8a54-3e5c871ecef6

Tabuľka C10 ETA 25/1018 : β -faktor pre skúšky na stavenisku

Základný materiál	Veľkosť tyče	β-faktor
Tehla č. 1	M8 až M16	0,71
Tehla č. 2	M8 až M16	0,59
Tehla č. 3 až 14	M8 až M16	0,71

Tabuľka C11 ETA 25/1018 : Tehla č. 1 až 3 – vzdialenosť od okraja a rozstup pre ťahové zaťaženie

d_{nom}	$s_{cr,N}$	$c_{cr,N}$	$s_{cr,min}$	$c_{cr,min}$
[mm]	[mm]	[mm]	[mm]	[mm]
8	20 x d_{nom}	10 x d_{nom}	50	50
10	20 x d_{nom}	10 x d_{nom}	50	50
12	20 x d_{nom}	10 x d_{nom}	50	50
16	20 x d_{nom}	10 x d_{nom}	50 [1] / 54 [2]	50 [1] / 54 [2]

[1] pre prvok 1 a 3

[2] pre prvok 2

Tabuľka C12 ETA 25/1018 : Tehla č. 4 až 14 – vzdialenosť od okraja a rozstup pre ťahové zaťaženie

$d_{nom} + d_s$ x L_s	$s_{cr,N}$	$c_{cr,N}$	$s_{cr,min}$	$c_{cr,min}$
[mm]	[mm]	[mm]	[mm]	[mm]
8 + 12 x 50	$l_{jednotka,max}$	0,5 x $l_{jednotka,max}$	100	100
8 + 12 x 80	$l_{jednotka,max}$	0,5 x $l_{jednotka,max}$	100	100
10 + 16 x 85	$l_{jednotka,max}$	0,5 x $l_{jednotka,max}$	100	100
10 + 16 x 125	$l_{jednotka,max}$	0,5 x $l_{jednotka,max}$	100	100
12 + 16 x 85	$l_{jednotka,max}$	0,5 x $l_{jednotka,max}$	100	100
12 + 16 x 125	$l_{jednotka,max}$	0,5 x $l_{jednotka,max}$	100	100
16 + 20 x 85	$l_{jednotka,max}$	0,5 x $l_{jednotka,max}$	120	120

doPodpisu.pl doc. ID: 954fcc61-5ef8-4cf5-8a54-3e5c871ecef6

Tabuľka C13 ETA 25/1018 : Tehla č. 1 až 3 - vzdialenosť od okraja a rozstup pre šmykové zaťaženie

d_{nom}	$s_{cr,cv}$	$c_{cr,cv}$
[mm]	[mm]	[mm]
8	20 x d_{nom}	20 x d_{nom}
10	20 x d_{nom}	20 x d_{nom}
12	20 x d_{nom}	20 x d_{nom}
16	20 x d_{nom}	20 x d_{nom}

Tabuľka C14 ETA 25/1018 : Tehla č. 4 až 14 – vzdialenosť od okraja a rozstup pre šmykové zaťaženie

$d_{nom} + d_s$ x L_s	$s_{cr,cv}$	$c_{cr,cv}$
[mm]	[mm]	[mm]
8 + 12 x 50	$l_{jednotka,max}$	$l_{jednotka,max}$
8 + 12 x 80	$l_{jednotka,max}$	$l_{jednotka,max}$
10 + 16 x 85	$l_{jednotka,max}$	$l_{jednotka,max}$
10 + 16 x 125	$l_{jednotka,max}$	$l_{jednotka,max}$
12 + 16 x 85	$l_{jednotka,max}$	$l_{jednotka,max}$
12 + 16 x 125	$l_{jednotka,max}$	$l_{jednotka,max}$
16 + 20 x 85	$l_{jednotka,max}$	$l_{jednotka,max}$

$l_{jednotka,max}$ - max. dĺžka murárskej jednotky

8. Vhodná technická dokumentácia a/alebo špecifická technická dokumentácia: nie je relevantné

Uvedené parametre výrobku sú v zhode so súborom deklarovaných parametrov. Toto vyhlásenie o parametroch sa v súlade s nariadením (EÚ) č. 305/2011 vydáva na výhradnú zodpovednosť uvedeného výrobcu.

Podpísal(-a) za a v mene výrobcu:
Dorota Godzisz
V Wrocław dňa 19.05.2026

doPodpisu.pl doc. ID: 954fcc61-5ef8-4cf5-8a54-3e5c871ecef6

Poświadczenie podpisania dokumentu

doPodpisu.pl

Data przekazania do podpisu 19-05-2026 11:28

Identyfikator dokumentu 954fcc61-5ef8-4cf5-8a54-3e5c871ecef6

19-05-2026 11:28

Integralność i niezaprzeczalność dokumentu przekazanego do podpisu zapewnia kwalifikowana pieczęć elektroniczna.

PIECZĘĆ ELEKTRONICZNA

KWALIFIKOWANY PODPIS ELEKTRONICZNY

19-05-2026 11:44

Podpisujący:

Dorota Godzisz

dorota.godzisz@selena.com

Podpis potwierdzony: **Podpisem kwalifikowanym**

Metoda uwierzytelniania: **Identyfikacja zdalna**

19-05-2026 11:44

Złożenie podpisów przez wymienione osoby podpisujące oraz integralność i niezaprzeczalność dokumentu zapewnia kwalifikowana pieczęć elektroniczna.

PIECZĘĆ ELEKTRONICZNA

Niniejszy dokument stanowi poświadczenie złożenia podpisów elektronicznych przez wymienionych podpisujących. Każda osoba oświadczyła i potwierdziła prawdziwość swoich danych oraz zidentyfikowała się wskazaną metodą uwierzytelnienia. Usługa została wykonana zgodnie z Regulaminem doPodpisu.pl dostępnym na https:/dopodpisu.pl/regulamin oraz Rozporządzeniem Parlamentu Europejskiego i Rady (UE) nr 910/2014 z dnia 23 lipca 2014 r. w sprawie identyfikacji elektronicznej i usług zaufania w odniesieniu do transakcji elektronicznych na rynku wewnętrznym oraz uchylające dyrektywę 1999/93/WE.